

表2. Genotype 別 HBV DNA 陽性例数

～2007.12.31

年齢	Genotype												計	
	A		B		C		D		E		H			
	M	F	M	F	M	F	M	F	M	F	M	F		
10代	4		1	5	19	41	1						25 46	
20代	68	1	19	18	121	105	1	3		1			209 128	
30代	41	2	14	4	78	43	2				1		136 49	
40代	11		15	3	35	12		1			1		64 16	
50代	5		19	5	34	15	1				1		60 20	
60代			8	3	28	5							36 8	
計	131	3	76	38	315	221	5	4	0	1	3	0	530 267	
	134		114		536		9		1		3		797	

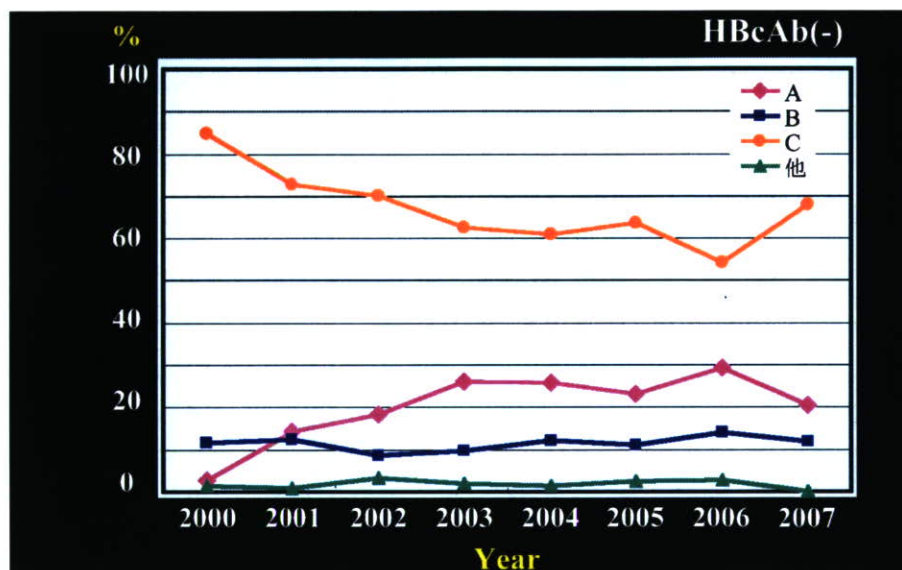


図1. HBV Genotype の比率

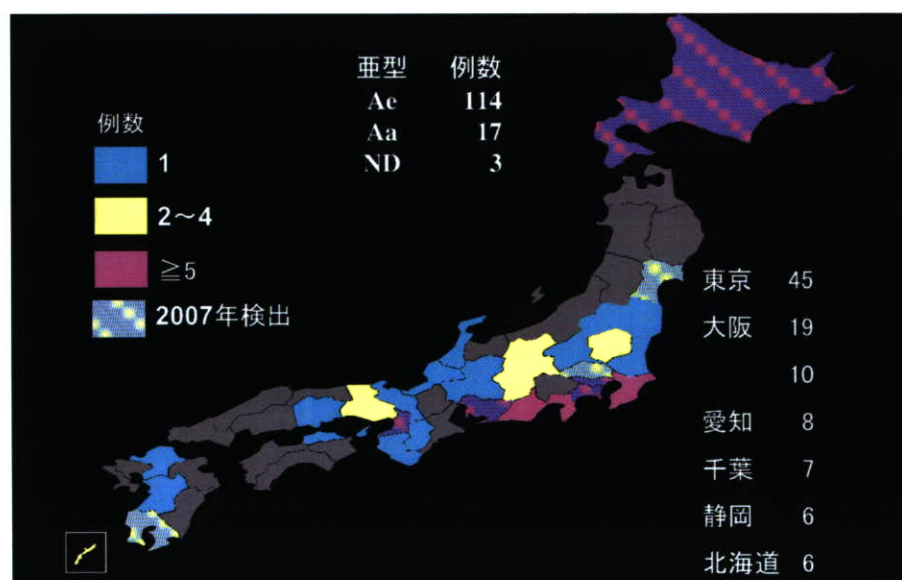


図2. Genotype A の地域分布 (134例)

#### D. 結論と考察

NATにより見出された HBV DNA 陽性の全ての献血者、計 795 例の血清を対象として解析した。その結果、ジェノタイプ A の HBV は 2001 年から検出され始め、2003 年以降は全 HBV DNA 陽性例の 20% 強を占め続けていること、年齢、性別にみると、20~30 歳代の男性が中心であること、地理的には東京、大阪、神奈川を中心に北海道、九州にまで拡散し始めていること、分子ウイルス学的には欧米型 (Ae) が中心 (87.0%) で、アジア・アフリカ型 (Aa) も約 13.0% にみられること、などが明らかとなった。

思春期以降の若い年齢層における HBV 感染の広がりは、今後も継続してモニタリングしていく必要があると考えられた。

#### E. 健康危険情報

特記すべきことなし

#### F. 知的財産の出願・登録状況

なし

厚生労働科学研究費補助金 (肝炎等克服緊急対策研究事業)

「肝炎状況・長期予後の疫学に関する研究」

平成19年度 班長研究協力者 研究報告書

わが国の慢性B型肝炎患者におけるHBV genotype分布の変遷

-全国16施設共同研究-

班長研究協力者 名古屋市立大学大学院医学研究科臨床分子情報医学 溝上雅史

研究要旨

HBV genotypeは地域特異性や特異的遺伝子変異が存在しており、その臨床像の違いに影響を及ぼしていると考えられている。われわれは、わが国の慢性B型肝炎患者におけるHBV genotypeの分布について報告しており(Orlito et al, Hepatology 2001), genotype B(HBV/B), C(HBV/C)が大部分を占め、genotype A(HBV/A)は1.7%と少数であった。近年、わが国において急性B型肝炎は増加しており、HBV/Aの頻度が高いことが報告されている。急性HBV/Aは他のgenotypeに比べ成人感染でも慢性化しやすいことが報告されており、わが国においてHBV/Aの慢性B型肝炎患者が蔓延することが危惧されている。今回、日本の慢性B型肝炎のHBV genotypeを再調査し、2001年と比較した。2005年7月頃から2006年10月に、全国16施設へ通院中であった慢性B型肝炎の患者1370例について、EIA法でgenotypeの分類が可能であった1272例の分布、genotype間での臨床像の違いについて検討した。さらに、HBV/Aについては、Pre-S2からS領域、可能なものについては、全塩基配列をdirect sequence法により決定し、遺伝子系統解析を行った。Genotypeの分布はそれぞれA:44例(3.5%)、B:179例(14.1%)、C:1046例(82.2%)、D:2例(0.2%)、H:1例(0.1%)であり、2001年の報告と比べ有意にHBV/Aの割合が増えている( $P<0.05$ )。関東、沖縄でHBV/Aの割合が高かった。HBV/AとB、C間で臨床像を検討すると、年齢についてはHBV/Aは、B、Cに比べ若く、Cに比べASCの割合が高く、高ウィルス療法例が少なかった。HBV/AのHBe抗原陽性率はBより高い傾向であった。HBV/Aの遺伝子系統解析ではHBV/Aaは欧米株と混在し、一部、日本株のクラスターを形成し、HBV/Aaはフィリピン・インド株とクラスターを形成していた。

遺伝子系統解析より、海外からHBV/Aが流入し、わが国すでに複数の株が蔓延していることが示唆され、疫学的にもHBV/Aの割合が増加している結果であり、今後、わが国においてさらに、HBV/Aの慢性B型肝炎患者が蔓延することが危惧される。

共同研究者氏名

松浦健太郎, 田中靖人, 宮川侑三

各施設共同研究者

髭修平, 小松真史, 倉光智之, 河田純男, 斎藤貴史, 田中栄司, 松本晶博, 泉並木, 朝比奈靖浩, 奥瀬千晃, 各務伸一, 岡上武, 伊藤義人, 山田剛太郎, 村脇義和, 法正恵子, 日野啓輔, 恩地森一, 日浅陽一, 佐田通夫, 井出達也, 佐久川廣, 前城達次

#### A. 研究目的

HBV genotypeは地域特異性や特異的遺伝子変異が存在しており、その臨床像の違いに影響を及ぼしていると考えられている。われわれは、わが国の慢性B型肝炎患者におけるHBV genotypeの分布について報告しており(折戸ら, Hepatology 2001), genotypeB(HBV/B), C(HBV/C), がそれぞれ12.2%, 84.7%と大部分を占め, genotype A(HBV/A)は1.7%と少數であった。近年、わが国において急性B型肝炎は性行為感染症として増加しており、genotypeの分布に関しては、慢性肝炎患者とは異なり、HBV/Aの頻度が高いことが報告されており、とりわけ大都市でこの傾向が顕著にみられている。わが国では従来、急性B型肝炎は一過性の感染で慢性肝炎に移行する可能性は1%程度とされているが、欧米では10%程度慢性化するとされており、genotypeの分布の違いが影響していると考えられている。急性HBV/Aは他のgenotypeに比べ慢性化しやすいことが報告されており、わが国においてHBV/Aの慢性B型肝炎患者が蔓延することが危惧されている。今回、日本の慢性B型肝炎のHBV genotypeを再調査し、2001年と比較した。

#### B. 研究方法

2005年7月頃から2006年10月に、全国16施設へ通院中であった慢性B型肝炎の患者1370例について、EIA法でgenotypeの分類が可能であった1272例の分布、genotype間での臨床像の違い(検討項目;年齢、性別、臨床診断、抗ウィルス療法の有無、血小板、ALT, ALP, γGTP, HBV-DNA, HBe抗原陽性率)について検討した。さらに、HBV/Aについては、Pre-S2からS領域、可能なものについては、全塩基配列をdirect sequence法により決定し、遺伝子系統解析を行った。また、最近の日本における急性B型肝炎患者から得られたHBV/Aの株を系統解析に加え、HBV/Aによる慢性肝炎と急性肝炎の関連について検討した。

#### C. 研究結果

Genotypeの分布はそれぞれA:44例(3.5%)、B:179例(14.1%)、C:1046例(82.2%)、D:2例(0.2%)、H:1例(0.1%)であり、2001年の報告と比べ有意にHBV/Aの割合が増えている( $P<0.05$ )。地域別の分布をみると、東北、沖縄以外の地域では、HBV/Cが大部分を占め、沖縄、東北ではHBV/Bの割合が高かった。関東、沖縄でHBV/Aの割合が高くそれぞれ、9.5%, 9.1%であった。HBV/AとB、C間で臨床像を検討すると、年齢についてはHBV/Aは、B、Cに比べ若く、Cに比べASCの割合が高く、高ウイルス療法例が少なかった。HBV/AのHBe抗原陽性率はBより高い傾向であった。HBV/BとCの比較は、既報のとおりでCのほうが、LC、HCCの割合が高く、ALT、HBeAgの陽性率が高かった。HBV/Aの遺伝子系統解析ではHBV/Aeは欧米株と混在し、一部、日本株のクラスターを形成し、急性肝炎患者のHBV/Aとも高い相同意をみとめた。HBV/Aaはフィリピ

ン・インド株とクラスターを形成していた。

#### D. 考察

本研究の結果、わが国の慢性肝炎患者におけるHBV/A割合は2001年の報告と比べ有意にHBV/Aの割合が増えている。近年、わが国の急性B型肝炎は性感染症として増えており、外来株であるHBV/Aの頻度が高いことが報告され、さらにHBV/Aは他のgenotypeに比べ慢性化しやすいとされている。本研究の結果、疫学的にHBV/Aの割合は増加し、また、系統解析より、HBV/Aは欧米、アジア諸国から流入し、すでに日本の中で蔓延し、日本のクラスターを形成していると推測された。genotype間の臨床像の違いについては、既報どおりHBV/CはBよりHBeA率が高く、病態の進行した症例の割合が高く、予後不良と考えられた。一方、HBV/Aは、HBV/CよりICの割合が高く、予後良好であると考えられた。しかし、HBeAg率がHBV/Bよりも高くHBV/Bより予後不良である可能性も考えられたが、症例数が少なく、HBV/Aの慢性肝炎患者の臨床像については今後も検討を要する。

#### E. 結論

遺伝子系統解析より、海外からHBV/Aが流入し、わが国ですでに複数の株が蔓延していることが示唆され、疫学的にもHBV/Aの割合が増加している結果であり、今後、わが国においてさらに、HBV/Aの慢性B型肝炎患者が蔓延することが危惧される。

#### H. 知的財産権の出願・登録状況

今回の研究内容については特になし。

#### G. 研究発表

2008 JDDWで発表予定。

厚生労働科学研究費補助金 (肝炎等克服緊急対策研究事業)  
「肝炎状況・長期予後の疫学に関する研究」  
平成19年度 分担研究報告

HBV 感染の経過に伴う HBV DNA、HBs 抗原の消長とその特性  
-新しく開発された HBs 抗原検出系の HBV 感染の特性解明への応用の可能性について-

分担研究者 吉澤浩司<sup>1)</sup>、柚木久雄<sup>2)</sup>、田中純子<sup>1)</sup>  
研究協力者 片山恵子<sup>1)</sup>、田渕文子<sup>1)</sup>、小宮裕<sup>1)</sup>  
水井正明<sup>3)</sup>、友栗徹士<sup>4)</sup>、日野邦彦<sup>5)</sup>  
星野博美<sup>5)</sup>、松原直子<sup>6)</sup>、伊藤哲雄<sup>6)</sup>

- 1) 広島大学大学院 疫学・疾病制御学
- 2) 日赤中央血液研究所 核酸増幅検査部
- 3) 広島県赤十字血液センター
- 4) 三和化学熊本靈長類パーク
- 5) 大阪府赤十字血液センター
- 6) テルタクリニック
- 7) 先端生命科学研究所

**研究要旨**

宿主が産生する HBs 抗体の存在下でも影響を受けることなく HBs 抗原を検出できる高感度の HBs 抗原検出系 (ALSI-HBsAg) を用いて、様々なグループから成る保存検体を対象として HBs 抗原の検出を行い、既存の HBV DNA の検出結果、及び新たに追加して行った nested PCR による HBV DNA の検出結果とを対比することにより以下の結果を得た。

1. HBV 感染早期 (HBc 抗体出現以前) の検体を対象とした場合、この測定系は HBV DNA 量が  $10^3$  コピー/ml に達した検体については例外なく捕捉することができ、 $10^2$  コピー/ml に達している検体についても、その大半を捕捉することが可能であること。
2. 特に HBc 抗体が出現した後の、HBV 感染中期～後期の検体を対象とした場合には、nested PCR による HBV DNA の検出とほぼ同等か、時にはそれ以上 (HBV DNA 量が  $10^2$  コピー/ml 未満にまで低下している検体まで) の捕捉能を示す場合があること。

以上の結果は、今後更に対象 (群) を増やしてこの測定系を広く用いることにより、HBV 感染の特性をより詳細に解析できる可能性を示すものであると言える。

## A. 研究目的

宿主が産生する HBs 抗体の存在下でも影響を受けずに HBs 抗原を検出できる高感度の検出系 (ALSI-HBsAg) を用いて、様々な検体を対象として HBs 抗原の測定を行い、HBV DNA の測定結果と対比することにより、新たな視点から HBV 感染の特性の解明を試みることを目的とした。

## B. 対象と方法

### 1. 高感度の HBs 抗原測定系 (ALSI-HBsAg) のデザイン

HBs 抗原の epitope には表面に露出している「外側」epitope と表面には露出していない「内側」epitope とがあり、通常の HBs 抗原測定法では「外側」epitope に対する抗体が使用されている。HBs 抗原の変異は s 抗原タンパクの 144aa 付近（「外側」epitope）におこることが知られているが、表面に露出していない「内側」epitope については変異が入る可能性は極めて低いと考えられている。

一方、HBV に感染した宿主の体内で産生される HBs 抗体は、理論上、

「外側」epitope に対するものであると考えられている。

本研究で用いた HBs 抗原検出系 (ALSI-HBsAg) は、通常の測定系が認識する「外側」epitope に対するモノクローナル抗体と、「内側」epitope に対するモノクローナル抗体を併用することにより、HBs 抗原の検出能力を高め、さらに「外側」epitope に対する変異体や、HBs 抗体が共存する検体にも対応して HBs 抗原の検出を可能にしたものである。

なお、この検出系は Conjugate としてアルカリリフォスファターゼをラベルしたモノクローナル抗体を用いる一般的なサンドウイッチ法によるものであるが、効率のよい抗原抗体反応環境を整えること、2 次抗体の標識法の改良による発光、発色強度の増幅によ

り、検出感度を向上させた測定系である。

## 2. 測定、解析の対象

下記の検体を対象として、HBs 抗原、HBV DNA を検出、測定し、解析した。

### 1) 実験的に HBV を感染させたチンパンジーの感染経過中の一連の血清

(1) ジェノタイプ A の HBV を感染させたチンパンジー(chimp246) の経過中の血清

(2) ジェノタイプ C の HBV を感染させたチンパンジー(chimp272) の経過中の血清

### 2) 核酸増幅検査 (NAT) により見出された HBV DNA 陽性の献血者由来の血漿

### 3) 経過観察中に抹消血中の HBV DNA が消失した B 型慢性肝疾患患者由来の血清

## 3. HBs 抗原、HBV DNA の検出、測定

HBs 抗原は、microparticle EIA 法 (AxSYM®)、化学発光による測定法 (CLIA 法、アボットジャパン KK、東京)、ALSI-HBsAg (先端生命科学研究所、東京) により検出、測定した。HBV DNA は Taq Man PCR ® (ロシュダイアグノスティクス KK、東京)、および nested PCR により検出、測定した。

## C. 結果

### 1. チンパンジーの血清を対象とした測定、解析結果

#### 1) 図-1 に示したジェノタイプ A の HBV を感染させたチンパンジー(chimp No.246)の一過性感染経過中の HBV DNA と HBs 抗原の測定結果を示す。

HBV DNA は、HBV 接種後 17 日目 (HBV DNA 量が  $1.2 \times 10^2$  コピー/ml に達した時点) から検出可能となり、278 日目 (HBV DNA 量が  $2.7 \times 10^2$  コピー/ml に低下する) まで連続して検出され、これ以後 334 日目までは断続的に検出された (HBV

DNA量は $1.1 \times 10^2$ コピー/mlから $1.7 \times 10^2$ コピー/mlの範囲内)。

これに対して、ALSI-HBsAgにより、HBs抗原はHBV接種後15日目(HBV DNA量が $2.7 \times 10^2$ コピー/mlに達し、検出可能となった日の2日前)に検出可能となり、HBV DNAが最後に検出された334日目から数えて48日後まで連続して検出された。また、図-1から明らかなように、末梢血中のHBV DNA量がピークを越えた118日目以降では、HBV DNAに比べてむしろHBs抗原はより感度よく捉えられている点が注目された。

2) 図-2にジェノタイプCのHBVを感染させたチンパンジー(chimp No.272)の経過中のHBV DNAとHBs抗原の測定結果を示す。

HBV DNAは、HBV接種後6日目(HBV DNA量が $3.0 \times 10^2$ コピー/mlに達した時点)から検出可能となり、189日目(HBV DNA量 $1.0 \times 10^2$ コピー/mlに低下した時点)まで検出され、196日目の時点では検出不可となっている。

一方、ALSI-HBsAgにより、HBs抗原はHBV接種後10日目(HBV DNA量が $1.1 \times 10^3$ コピー/mlに達した時点)から検出可能となり、182日目(HBV DNA量が $1.7 \times 10^2$ コピー/mlに低下した時点)まで検出され、189日目(HBV DNA量 $1.0 \times 10^2$ コピー/mlとなった時点)には検出できなくなっている。なお、chimp246と同様に、末梢血中のHBV DNA量がピークを越えたHBV感染の後期では、HBs抗原はHBV DNAに比べてむしろ感度よく捉えられていた。

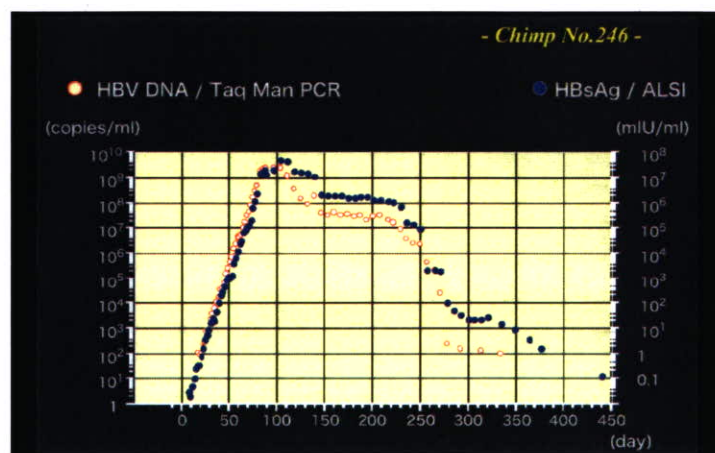


図1. HBV(ジェノタイプA)を接種したチンパンジーの末梢血中におけるHBV DNAとHBs抗原の消長

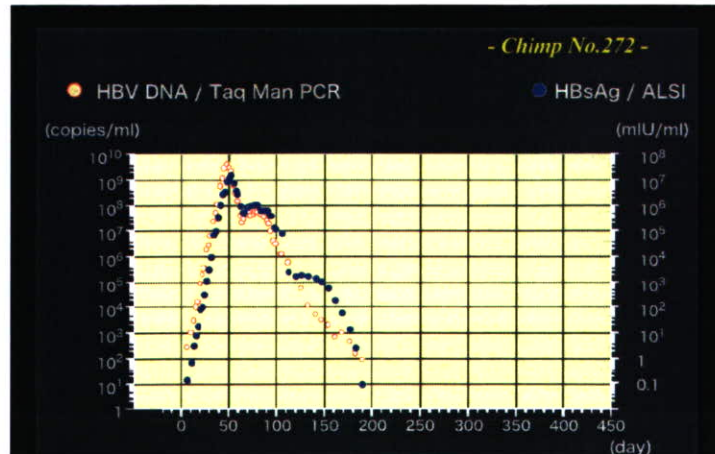


図2. HBV(ジェノタイプC)を接種したチンパンジーの末梢血中におけるHBV DNAとHBs抗原の消長

## 2. 核酸増幅検査（NAT）により見出されたHBV DNA陽性の献血者由来の血漿を対象とした測定、解析結果

図-3にNATにより見出されたHBV感染早期(HBc抗体陰性期)の献血者由来の血漿234検体を対象としたHBs抗原とHBV DNAの検出結果を対比して示す。

HBs抗原はmicroparticle EIA法(AxSYM<sup>®</sup>)による測定値(S/N)を、また、HBV DNA量はTaq Man PCR<sup>®</sup>による測定値(コピー/ml)により、示した。

HBs抗原は対象とした検体の半数以上が陰性と判定されており、また、HBV DNA

量とHBs抗原の測定値(S/N)とは必ずしも1対1の対応をなしてはいない。

図 保存検体を用いてALSI-HBsAgによりHBs抗原を測定し、同様に整理してまとめたものである。HBV DNA量が少量( $10^2\sim 10^3$ コピー/ml)であった例のごく一部(4検体のみ)がHBs抗原陰性と判定されている。

これらの4検体のHBV DNA量は1.0~ $2.8\times 10^2$ コピー/mlといずれもごく微量であり、HBVのジェノタイプについてはジェノタイプAとBが各1検体、ジェノタイプCが2検体と、特定のジェノタイプへの片寄りは認められなかった。

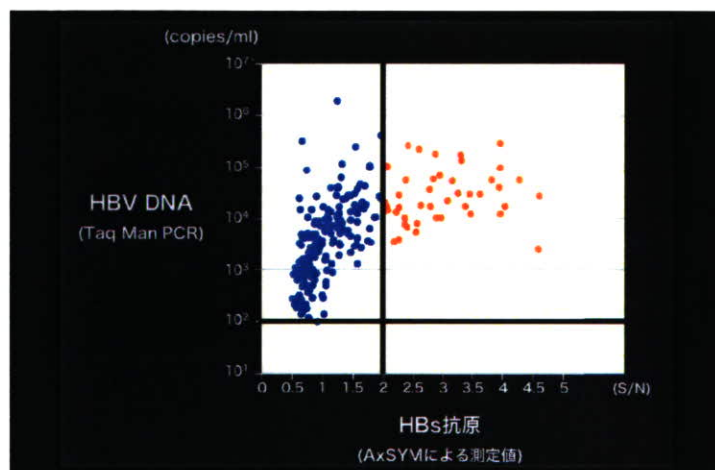


図3. HBV DNA量とHBs抗原測定値(S/N値)との関係  
— NATにより見出されたHBV感染早期の234検体について —

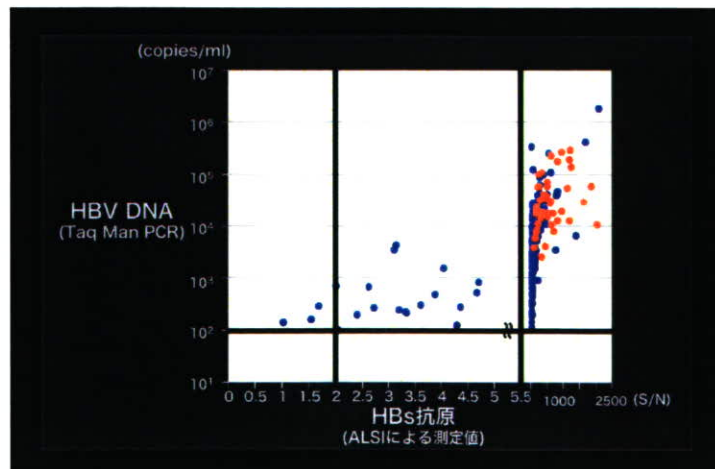


図4. HBV DNA量とHBs抗原測定(S/N値)との関係  
— NATにより見出されたHBV感染早期の234検体について —

### 3. 末梢血中の HBV DNA が検出されなくなったB型慢性肝疾患例の経過を追った血清を対象とした測定、解析結果

図-5に、経過観察中に末梢血中のHBV DNAとHBs抗原の両者が自然消失した症例の経過を示す。

この症例の保存血清を用いて、retrospectiveにnested PCRによるHBV DNA、およびALSI-HBsAgによるHBs抗原の検出を試みたところ、HBV DNA消失後、長期間にわたってごく微量のHBV DNAと共に、HBs抗原が持続して検出されることが明らかとなった。

図-6は、核酸アナログ製剤による治療開始後、比較的早期に末梢血中のHBV DNAが消失した例の経過をまとめたものである。この症例はHBV DNAが消失してから約1年後にHBワクチンの接種を開始しているが

3回目の接種直後にHBs抗体値の急上昇（ブースター反応）がみられた。この症例の保存血清を用いて、nested PCRによるHBV DNA、およびALSI-HBsAgによるHBs抗原の検出を試みたところ、ごく微量のHBV DNAの消失に続いて、HBs抗原の消失がおこり、その後数ヵ月を経てHBワクチンの接種を開始していたことが明らかとなつた。

図-7も核酸アナログ製剤による治療例で、HBV DNA消失後約1年目にHBワクチンの接種を行ったものの十分な効果が得られなかつた例の経過をまとめたものである。この症例はnested PCRによるHBV DNAの消失、ALSI-HBsAgによるHBs抗原の消失後にHBワクチンの接種を開始してはいるものの、図-6に示した症例に比べてHBマーカーが消失してからHBワクチン接種開始までの期間（間隔）が短い点が異なつてゐる。

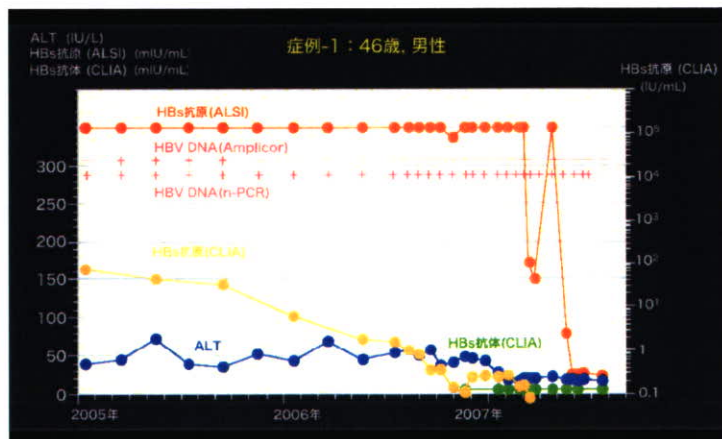


図5. HBV 感染の経過に伴う HBV DNA、HBs 抗原の消長＜自然経過例＞

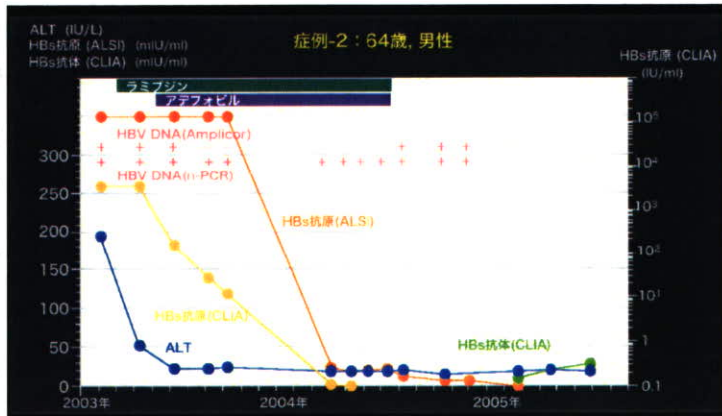


図6. HBV 感染の経過に伴う HBV DNA、HBs 抗原の消長  
<治療+HBワクチン接種例>

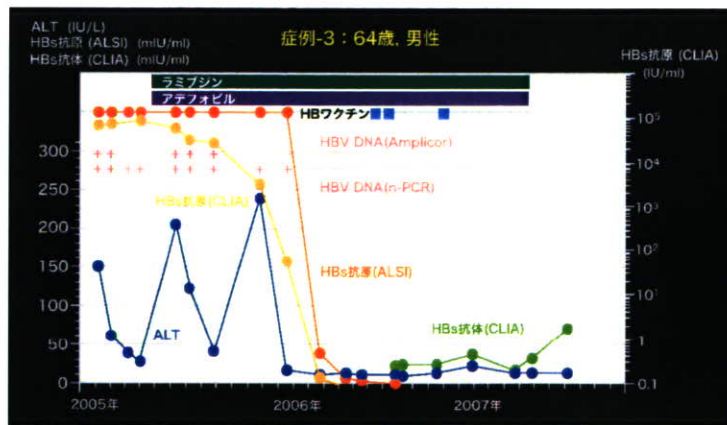


図7. HBV 感染の経過に伴う HBV DNA、HBs 抗原の消長  
<治療+HB ワクチン接種例 >

#### D. 結論と考察

新しく開発された高感度の HBs 抗原測定系 (ALSI-HBsAg) を用いて、様々なグループから成る保存血清を対象として HBs 抗原の再測定を行い、既存の HBV DNA の検出結果、及び新たに追加して行った nested PCR による HBV DNA の検出結果との対比を行い、以下の成績を得た。

1. HBV 感染早期 (HBc 抗体出現以前) の検体を対象とした場合、この測定系は HBV DNA 量が  $10^3$  コピー/ml に達した検体については例外なく捕捉することができ、 $10^2$  コピー/ml に達している検体についても、その大半を捕捉することが可能であること。
2. 特に HBc 抗体が出現した後の、HBV 感染中期～後期の検体を対象とした場合には、nested PCR による HBV DNA の検出とほぼ同等か、時にはそれ以上の捕捉能を示す場合があること。

以上の結果は、今後、更に対象（群）を増やして、この測定系を広く用いることにより HBV 感染の特性をより詳細に解明できる可能性を示すものであると考えられた。

厚生労働科学研究費補助金（肝炎等克服緊急対策研究事業）

「肝炎状況・長期予後の疫学に関する研究」

平成19年度 分担研究報告

抗HCVヒト免疫グロブリン(HCIG)開発を目指した基礎的研究

－感受性動物小動物(ヒト肝細胞置換キメラマウス)を用いた感染実験による中和活性の検証－

分担研究者

吉澤浩司<sup>1)</sup>、柚木久雄<sup>2)</sup>、田中純子<sup>1)</sup>

研究協力者

片山恵子<sup>1)</sup>、田渕文子<sup>1)</sup>、小宮裕<sup>1)</sup>

水井正明<sup>3)</sup>、木次克彦<sup>4)</sup>、藤原稔也<sup>4)</sup>

松倉晴道<sup>5)</sup>、伴野丞計<sup>6)</sup>、前野英毅<sup>6)</sup>

丸山功<sup>7)</sup>、島田卓<sup>7)</sup>

1) 広島大学大学院 疫学・疾病制御学

2) 日赤中央血液研究所 核酸増幅検査部

3) 広島県赤十字血液センター

4) オーソクリニカルダイアグノスティクス

5) 大阪府赤十字血液センター

6) 日赤血漿分画センター

7) フェニックスバイオ

研究要旨

抗HCVヒト免疫グロブリン(HCIG)の開発を目指した基礎的研究の第一歩として、

(1)既知のHCV感染材料、(2)HCVのエンベロープに対する抗体(HCVenv抗体)高力価陽性のヒトプール血漿を原料として調製したガンマグロブリン(HCIG候補)、(3)ヒト肝細胞置換キメラマウスの3者を用いた感染実験を行い、以下の結果を得た。すなわち、

- 1) HCV(ジェノタイプ1a)の遺伝子(E1+E2+P7領域)由来の計624aaから成るペチドを抗原として用いた測定系により検出される抗体(HCVenv抗体)は、HCVキャリアの血清中に比較的高い頻度で見出された。
- 2) HCVenv抗体高力価陽性者由来のプール血漿を界面活性剤と還元剤処理(SD処理)した後に作製したガンマグロブリン分画ではHCVの感染力は失われていることが明らかとなった。
- 3) HCVenv抗体高力価を示す複数のHCVキャリアのプール血漿を原料として調製したHCIG候補には、HCVの感染を阻止する中和活性があることが明らかとなった。

以上、本研究により得られた成果は、抗HCVヒト免疫グロブリン(HCIG)開発の可能性にむけた第一歩であり、今後はより強い中和活性を有する原料血漿の選別法(HCVenv抗体測定系の改良)、感染防御の対象となるべき(それぞれの患者血中の)HCVとHCIG候補のLotごとにみた中和能とのマッチングの検討などが必要になると考えられた。

## A. 研究目的

C型肝炎ウイルスのエンベロープに対する抗体（以下 HCEnv 抗体と略記）陽性のプール血漿を原料として調製したガンマグロブリン分画（抗 HCV ヒト免疫グロブリン候補；以下 HCIG 候補と略記）が HCV 感染防御機能を有するか否かをヒト肝細胞置換キメラマウス（以下 キメラマウスと略記）を用いた感染実験により検証することを目的とした。

## B. 対象と方法

### 1. HCEnv 抗体の検出、測定系に用いた抗原

HCV（ジエノタイプ 1a）の遺伝子（E1+E2+P7 領域）由来の発現ペプチド（E1 : 192-383aa+E2+P7 : 384-815aa、合計 624aa から成るペプチド）を抗原として用いた。

### 2. HCEnv 抗体の測定と原料血漿選択のためのスクリーニング

以下の手順により、目的に適った原料血漿の選択を行った。

(1) HCV 抗体陽性の血漿（HCV 感染既往者と HCV キャリアの両者由来の血漿 153 検体から成るパネル血漿）を対象とし、HCEnv 抗体測定値（O.D 値）と HCV 抗体価（2NHCV PHA 価）とを対比した。その結果、HCV キャリア由来の血清を対象とすることにより、高力価 HCEnv 抗体陽性の検体を効率良く見出すことができることが明らかとなった。

(2) HCV キャリアの保存血清、計 624 検体を対象とし、原血清、 $10^2$  倍、 $10^3$  倍、 $10^4$  倍稀釀サンプルを検査して得た測定結果（O.D 値）から、 $10^3$  倍稀釀サンプルによる測定値を用いることにより、効率良く高力価 HCEnv 抗体を選別できることを確認した。

(3) HCV キャリアの血漿（献血者由来の血

漿、計 298 パック分）の $10^3$  倍稀釀後の測定値（O.D 値）を求めた。

### 3. HCIG 候補用原料血漿のプール

上記(2)の集団から、 $10^3$  倍稀釀後の測定値（O.D 値）が 1.0 以上を示す 10 検体、計 25ml、および(3)の集団から、 $10^3$  倍稀釀後の測定値（O.D 値）が 0.8 以上を示す 35 パック分合計 2,225ml、合計 45 人分、計 2,250ml の血漿をプールし、HCIG 候補用原料とした。

### 4. ガンマグロブリン分画の調製

プールした原料血漿を界面活性剤と還元剤によりウイルスの不活化処理（SD 処理）を行った後、定法（コーン冷エタノール分画法）によりガンマグロブリン分画を調製した（タンパク濃度 5.76%、溶媒 0.3M グリシン）。

### 5. 接種材料

チンパンジーを用いた感染実験により、あらかじめ性質が明らかとなっている（既知の）接種材料を用いた<sup>1) 2)</sup>。

その由来、性質は下記の通りである。すなわち、

- (1) ヒト（献血者）由来の HCV 感染早期の新鮮凍結血漿（FFP）接種後 7 週目のチンパンジーの血清（Passage 7: P-7）、
- (2) HCV のジエノタイプ：1b+2a
- (3) HCV RNA 量： $2.2 \times 10^5$  コピー/ml、
- (4) HCV 抗体：陰性、
- (5) チンパンジーに接種した場合の感染価：Chimpanzee Infectious Dose : CID : ~ $10^1$  (18~26) コピー。

### 6) 実験に用いたヒト肝細胞置換キメラマウス

同一 Lot のヒト肝細胞（Lot.BD87）を用いて置換したキメラマウス（置換率 66.7% ~90.3%）、計 22 匹を用いた。実験開始

時の体重は、12.7 g～20.6 g。

## C.結果

### 1. 抗体の測定値とHCV抗体価

#### 1) HCEnv抗体測定値(O.D値)とHCV抗体価(2<sup>N</sup>HCV PHA値)との対比

HCEnv抗体測定値(O.D値)は、HCV抗体価が中～低力価を示すHCV感染既往例ではいずれも低値を示していた。一方、HCV抗体価が2<sup>12</sup>HCV PHA値以上の高力価を示す(HCVキャリア)群では、高値を示すという傾向がみられた(図-1)。

#### 2) HCVキャリア集団における高力価HCEnv抗体陽性例の頻度

原血清10<sup>3</sup>倍稀釀サンプルを検査して得たHCEnv抗体測定値(O.D値)が1.0以上を示す例を「高力価HCEnv抗体陽性例」とした場合、その頻度は624検体中10検体(1.6%)であり、これらは主としてHCV抗体高力価の(2<sup>14</sup>HCV PHA値以上)群から見出された(表-1)。

同様に献血者由来の血漿10<sup>3</sup>倍稀釀サンプルを検査して得たHCEnv抗体測定値(O.D値)が0.8以上を「高力価HCEnv抗体陽性例」とした場合の頻度は298バッグ中35バッグ(11.7%)であり、これらは2<sup>13</sup>HCV PHA値以上を示す群から見出された(表-2)。

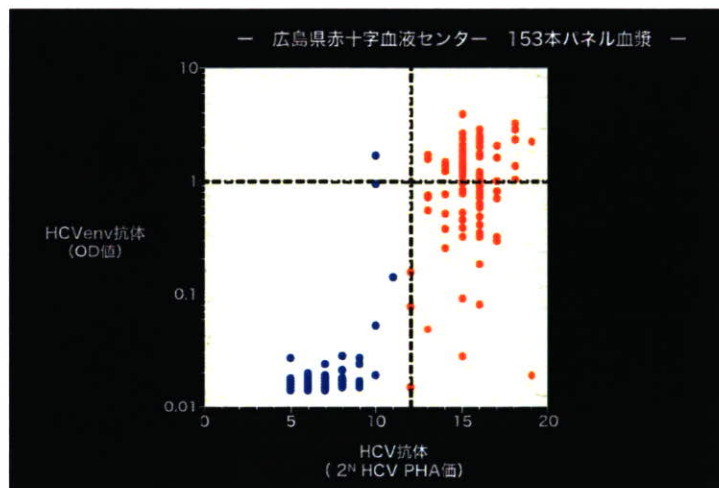


図1. HCV抗体価(2<sup>N</sup> PHA値)とHCEnv抗体測定値とHCV抗体価との対比

表1 HCV抗体価(2<sup>N</sup>HCV PHA値)別にみた  
高力価HCEnv抗体陽性例の分布

— HCIG(候補)の原料として選別した10例 —

HCV抗体 (2 <sup>N</sup> HCV PHA値)	検体数	高力価HCEnv抗体 陽性数(%)
2 <sup>12</sup>	98	0
2 <sup>13</sup>	116	0
2 <sup>14</sup>	120	2 (1.7)
2 <sup>15</sup>	153	4 (2.6)
2 <sup>16</sup>	90	3 (3.3)
2 <sup>17</sup>	41	1 (2.4)
2 <sup>18</sup>	6	0
合計	624	10 (1.6)

高力価HCEnv抗体：原血清1,000倍稀釀後の測定値 O.D 1.0以上

**表2 HCV抗体価 (2<sup>n</sup>HCV PHA価) 別にみた  
高力価 HCEnv 抗体陽性例の分布  
— HCIG (候補) の原料として選別した35例 —**

HCV抗体 (2 <sup>n</sup> HCV PHA価)	検体数	高力価HCEnv抗体 陽性数 (%)
2 <sup>12</sup>	17	0
2 <sup>13</sup>	38	4 (10.5)
2 <sup>14</sup>	69	8 (11.6)
2 <sup>15</sup>	61	5 (8.2)
2 <sup>16</sup>	63	9 (14.3)
2 <sup>17</sup>	35	6 (17.1)
2 <sup>18</sup>	12	3 (25.0)
2 <sup>19</sup>	2	0
2 <sup>20</sup>	0	0
2 <sup>21</sup>	1	0
合計	298	35 (11.7)

高力価HCEnv抗体：原血清1,000倍段階稀釈後の測定値 C.D. 0.8以上

**表3 既知の接種材料<sup>a)</sup> をもととした感染材料の調製**

— 同種マウスのプール血清による10<sup>N</sup>倍段階稀釈と各サンプル中のHCV RNA量の測定 —

P-7 (原血清)	10 <sup>N</sup> 倍段階稀釈	
	1 : 10 <sup>1</sup>	1 : 10 <sup>2</sup>
HCV RNA 2.2 × 10 <sup>5</sup> コピー/ml	4.4 × 10 <sup>4</sup> コピー/ml	4.6 × 10 <sup>3</sup> コピー/ml

a) 既知の接種材料：HCV感染早期のヒト由来FFP接種後49日目のチンパンジー血清 (P-7)  
HCVジェノタイプ 1b + 2a  
HCV RNA 2.2 × 10<sup>5</sup> コピー/ml  
HCV抗体 隠性  
チンパンジーへの感染値 (CID) : ~10<sup>1</sup> コピー

b) HCV RNA: Taq Man PCR により測定

**表4 感染成立に必要な最少HCV量の測定  
— 接種HCV量別にみたキメラマウスの転帰 —**

群 [接種HCV (RNA) 量]	マウスNo.	性	体重 (g)	ヒト肝臓腔 率換算 (%)	転帰
I 群 [~10 <sup>4</sup> コピー]	1	♀	15.7	67.8	感染成立
	2	♀	14.5	66.7	感染成立
	3	♀	15.3	76.1	感染成立
II 群 [~10 <sup>5</sup> コピー]	4	♀	13.6	76.5	感染成立
	5	♀	13.1	85.4	感染成立
	6	♀	14.7	88.2	感染成立
	7	♀	14.1	79.2	感染成立
III 群 [~10 <sup>6</sup> コピー]	8	♂	15.8	76.9	感染成立
	9	♂	16.4	74.9	感染成立
	10	♀	15.6	68.8	【感染不成立】

感染成立に必要な最少HCV量：  
( Mouse Infectious Dose : MID : ~10<sup>5</sup> [220~460] コピー )  
チンパンジー感染値 (CID) との対比 : 1 MID 与 10 CID

**表5 既知の接種材料 (P-7) の稀釈による3種類の感染材料の調製**

— 同種マウスフル血清、HCIG候補、HBIGにより稀釈  
したサンプル中のHCV RNA量の同時測定 —

P-7 (原血清)	マウスフル血清 による稀釈	HCIG候補 による稀釈	HBIG による稀釈
HCV RNA (コピー/ml) 2.2 × 10 <sup>5</sup> (8.5 × 10 <sup>5</sup> ) <sup>†</sup>	4.4 × 10 <sup>4</sup>	7.1 × 10 <sup>4</sup>	9.1 × 10 <sup>4</sup>

既知の接種材料 (P-7) : HCV感染早期のヒトFFP接種後49日目の  
チンパンジー血清  
[ 1 CID : 10 コピー  
1 MID : 10<sup>2</sup> コピー ]

HCV RNA: Taq Man PCR により測定  
(参考 8.5 × 10<sup>5</sup> コピー/ml : 同時測定時の値 )

## 2. 感染成立に必要な最少 HCV 量

感染成立に必要な最少 HCV 量 (マウス感染価、Mouse Infectious Dose : MID) を以下の手順で測定した。

### 1) 感染材料

既知の接種材料 (P-7) を、ヒト肝細胞非置換の同種マウスのプール血清を用いて 1:10<sup>1</sup>、1:10<sup>2</sup> 倍に稀釀し、サンプル中の HCV RNA 量を定量し正しく稀釀されていることを確認した後、それぞれのサンプルを感染材料として用いた (表-3)。

### 2) キメラマウスへの接種とそれぞれのマウスの転帰

感染材料各々 100ul ずつを尾静脈経由で接種した 3 群のキメラマウスと、それぞれの転帰を表-4 にまとめて示した (表-4)。

10<sup>4</sup> コピー相当、10<sup>3</sup> コピー相当の HCV を接種した 1 群の 3 匹、および 2 群の 4 匹は全例で感染が成立した。

これに対して、10<sup>2</sup> コピー相当の HCV を接種した 3 群の 3 匹では、2 匹が感染成立、1 匹は感染不成立という結果が得られた。

以上のことから、既知の接種材料 (P-7) を用いて、LotBD87 のヒト肝細胞置換キメラマウスを実験動物とした場合の、感染成立に必要な最少 HCV 量 (Mouse Infectious Dose : MID) は 10<sup>2</sup> コピー相当 (220~460 コピー) であることが明らかとなった。

## 3. HCIG 候補による受動免疫後のキメラマウスへの既知量 (感染価) の HCV のチャレンジ

### 1) 感染材料

既知の感染材料 (P-7) を、ヒト肝細胞非置換の同種マウスのプール血清、HCIG 候補、HBIG により、1:10<sup>1</sup> 倍に稀釀し、それぞれのサンプル中の HCV RNA 量を定量して、

正しく稀釀されていることを確認した後に感染材料として用いた (表-5)。

なお、対照実験用の感染材料とした HBIG による稀釀は、市販の HBIG (200 IU/ml、日赤製) を用いた。

### 2) キメラマウスへの接種とそれぞれのマウスの転帰

#### (1) 実験プロトコール (I) : in-vivo での中和実験

HCIG 候補を図-2 に示したプロトコールに従って投与した後に、10<sup>4</sup> コピー相当の HCV を 4 匹のキメラマウスに、また、10<sup>3</sup> コピー相当の HCV を 3 匹のキメラマウスに接種して、接種後 6 週目まで経過を観察した。

その結果、10<sup>4</sup> コピー相当の HCV をチャレンジした 4 匹中 3 匹では接種後 1 週目から末梢血中に HCV が出現し、6 週目まで持続して検出された。残りの 1 匹では、接種後 1,2,3,5 の各週で HCV が検出されたが 4 週目および 6 週目には HCV は検出されなかった。

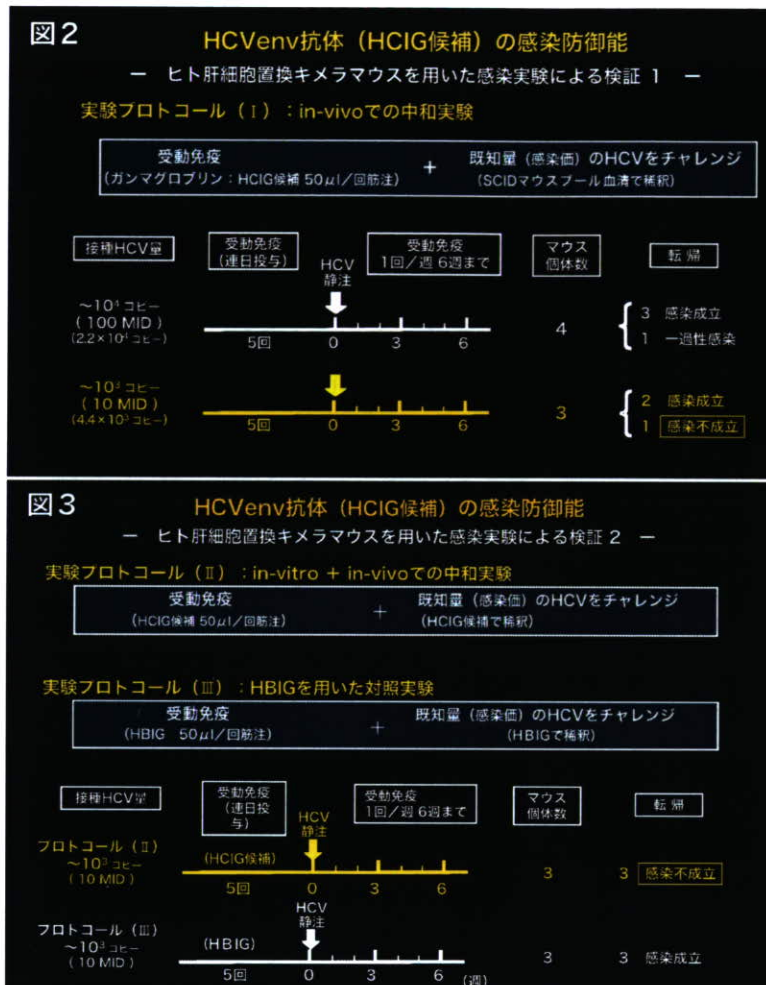
一方、10<sup>3</sup> コピー相当の HCV をチャレンジした 3 匹中 2 匹では接種後 1 週目から 6 週目までの末梢血中に HCV が検出されたが、残りの 1 匹では全経過を通じて HCV は検出されなかった。

#### (2) 実験プロトコール (II) : in-vivo + in-vitro での中和実験及び実験プロトコール (III) による対照実験

図-3 に示した実験プロトコール (II) に従って受動免疫したキメラマウス 3 匹に、P-7 を HCIG 候補により 1:10<sup>1</sup> 倍に稀釀し、37°C、30 分間温浴槽内で incubate した後に接種したところ、3 匹とも HCV の感染はみられなかった。

これに対して実験プロトコール(III)  
に従って行った対照実験では全例で

HCVの感染は成立した。



## D.結論と考察

抗 HCV ヒト免疫グロブリン (HCIG) 開発を目指した基礎的研究の第一歩として、感受性動物（ヒト肝細胞置換キメラマウス）を用いた HCV の感染実験を行い、以下の結果を得た。

1. HCV エンベロープ抗体 (HC Venv 抗体) は、HCV 抗体中～低力価を示す HCV 感染既往例では低値を示し、HCV 抗体高値を示す HCV キャリアでは高値を示すことが明らかとなった。
2. HC Venv 抗体高力価陽性者（その全例は HCV キャリア）由来のプール血漿を界面活性剤と還元剤により HCV の不活化処理 (SD 処理) を行った後に作製したガンマグロブリン分画では HCV の感染力は失われていることが明らかとなった。

性剤と還元剤により HCV の不活化処理 (SD 処理) を行った後に作製したガンマグロブリン分画では HCV の感染力は失われていることが明らかとなった。

3. HCIG 候補には、HCV 感染を阻止する中和活性があることが明らかとなった。
4. 一方、本実験研究によって示された中和活性は必ずしも十分なものではない (10 Mouse Infectious Dose : 10MID を防御できる程度) であることも明らかとなった。  
以上のことから、今後は、  
(1) より強い中和活性を有する原料血漿の選別法の検討、すなわち HC Venv 抗体測

定系の改良、

- (2) HCIG の Lot と感染の防御対象となるべき HCV とのマッチングの検討などが必要になると考えられた。

## 文献

- 1) 吉澤浩司他：  
in-vitro で定量される C 型肝炎ウイルス量  
(HCV RNA 量 copy/ml) とチンパンジー  
感染価 (CID/ml) との関係確定のための  
実験的研究  
「C 型肝炎の自然経過および介入による  
影響等の評価を含む疫学的研究」  
平成 14 年度報告書 pp81-89
- 2 ) Katayama K, Kumagai J, Komiya Y,  
Mizui M, Yugi H, Kishimoto S,  
Yamanaka R, Tamatsukuri S, Tomoguri  
T, Miyakawa Y, Tanaka J, Yoshizawa H:  
Titration of hepatitis C virus in  
chimpanzees for determining the copy  
number required for transmission  
Intervirology. 47:57-64,2004.

**厚生労働科学研究費補助金  
肝炎等克服緊急対策研究事業**

**肝炎状況・長期予後の疫学に関する研究**

(課題番号 H19-肝炎-一般-009)  
(3年計画の1年目)

**平成19年度 研究成果**

**主任研究者 吉澤 浩司**

**平成20(2008)年 3月**

肝炎状況・長期予後の疫学に関する研究  
平成19年度 班構成

主任研究者

吉澤 浩司 広島大学大学院 疫学・疾病制御学 教授

分担研究者

田中 純子	広島大学大学院 疫学・疾病制御学	准教授
小山 富子	岩手県予防医学協会 県南センター	所長
日野 啓輔	山口大学大学院 基礎検査学	教授
三浦 宜彦	埼玉県立大学 保健医療福祉学部情報科学	教授
阿部 弘一	岩手医科大学 第一内科	講師
池田 健次	虎の門病院 肝臓科	部長
鳥村 拓司	久留米大学 消化器内科	准教授
柚木 久雄	日赤中央血液研究所 核酸増幅検査部	部長
相崎 英樹	国立感染症研究所 ウィルス第二部	主任研究官

班長研究協力者

丸山 功	株フェニックスバイオ 研究部	研究員
菅野 雅元	広島大学大学院 免疫学	教授
佐田 通夫	久留米大学 消化器内科	教授
松崎 靖司	東京医科大学 霞ヶ浦病院 消化器内科	教授
熊田 卓	大垣市民病院 消化器科	部長
星野 博美	デルタクリニック	研究員
高橋 和明	東芝病院 研究部	研究員
松倉 晴道	大阪府赤十字血液センター	副部長
溝上 雅史	名古屋市立大学大学院 臨床分子情報医学	教授
宮川 侑三	財宮川庚子記念研究財団	専務理事